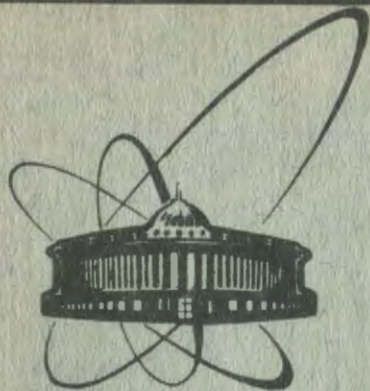


91-91



сообщения
объединенного
института
ядерных
исследований
дубна

P9-91-91

В.М. Жабицкий

ПРИМЕНЕНИЕ Z-ПРЕОБРАЗОВАНИЯ ДЛЯ РЕШЕНИЯ
ЗАДАЧИ О ПОДАВЛЕНИИ СВОБОДНЫХ КОЛЕБАНИЙ
ПУЧКА В УСКОРИТЕЛЕ

1991

Свободные когерентные бетатронные колебания пучка в ускорителе могут возникнуть по разным причинам, например после инжекции из-за различных погрешностей при коррекции его угла влета с помощью ударного магнита. Вследствие импульсного разброса частиц в пучке и ненулевой хроматичности магнитного поля в ускорителе происходит переход когерентных бетатронных колебаний частиц пучка в некогерентные. В результате поперечные размеры пучка возрастают, плотность снижается, а качество пучка в целом несколько ухудшается. При достаточно большой интенсивности пучка появляется еще одна неприятность: свободные когерентные колебания могут стать затравкой для развития поперечной резистивной неустойчивости с когерентными колебаниями частиц достаточно большой амплитуды, коррекцию которых уже не сможет обеспечить система подавления неустойчивости из-за ограниченной мощности используемых в ней усилителей в цепи обратной связи. В связи с этими двумя причинами в настоящее время на некоторых ускорителях производят коррекцию траектории пучка с помощью цепи обратной связи типа датчик положения - усилитель - толкатель непосредственно после инжекции за промежуток времени, который должен быть короче характерного времени перехода когерентных бетатронных колебаний в некогерентные^{/1,2/}. При этом подавление когерентных поперечных колебаний производят в течение нескольких десятков оборотов пучка с помощью специальной достаточно мощной импульсной системы до такой амплитуды колебаний, коррекция которой уже возможна с помощью системы подавления поперечной резистивной неустойчивости. В ускорителях нового поколения, таких как УНК, необходимость подобной системы коррекции становится еще более актуальной. Расчеты показывают^{/3/}, что в I ступени УНК инкремент резистивной неустойчивости значительно превышает разброс бетатронных частот и может достигать $0.1\omega_0$ (ω_0 - угловая скорость пучка), то есть примерно 10^4 с^{-1} . Столь быстрое развитие неустойчивости с необходимостью требует наличия системы подавления свободных когерентных колебаний за очень короткое время.

В ряде работ^{/2-5/} анализ систем подавления поперечных колебаний ограничен расчетом постоянной затухания колебаний

для произвольной расстановки датчиков положения и толкателей. При этом обычно предполагается, что коэффициент передачи радиотехнических устройств цепи обратной связи системы подавления есть постоянная или слабо зависящая от частоты величина. В то же время для выделения полезной составляющей в сигнале с датчика положения, обусловленной когерентными бета-тронными колебаниями, применяют фильтры типа гребенчатого^{8/}. При этом влияние вносимых фильтром фазовых искажений на устойчивость работы системы подавления не анализируется.

В настоящей работе рассмотрены возможные системы подавления свободных когерентных колебаний пучка с целью их применения на таких ускорителях, как УНК. Анализ предлагаемых систем производится с учетом цифровой обработки сигнала в цепи обратной связи, что можно осуществить с помощью современной цифровой электроники. Это приводит к ряду преимуществ таких систем перед аналоговыми. В цепи цифровой обработки сигнала анализируется влияние фильтра типа гребенчатого на устойчивость системы в целом, вычислена постоянная затухания поперечных когерентных колебаний частиц с учетом фильтра.

Рассмотрим работу системы подавления свободных когерентных колебаний пучка с передачей сигнала "назад" (см. рис.1). В таких системах смещение пучка регистрируется с помощью датчика положения (ДП), сигнал с которого передается по цепи обратной связи против хода пучка на толкатель (Т).

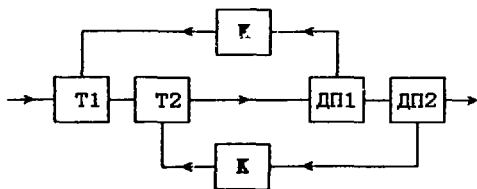


Рис.1

Задержка сигнала в цепи обратной связи равна времени пролета пучка от датчика положения до толкателя. Для каждого из направлений в систему включены два датчика положения (ДП1 и ДП2), два толкателя (Т1 и Т2) и цепь отрицательной обратной связи (К) с коэффициентом передачи К и цифровой обработкой сигнала.

Пусть, как обычно, смещение частиц пучка $x(s)$ задается от равновесной орбиты. Для уравнения движения частицы имеем

следующее дифференциальное уравнение:

$$\frac{d^2 v}{d\varphi^2} + Q^2 v = \frac{Q^2 \beta \sqrt{\beta}}{m \gamma_0 v_0^2} F_{\text{возм}} \quad (1)$$

Здесь используются обобщенные переменные:

$$v(\varphi) = x(s) \sqrt{\beta(s)}, \quad \varphi = \int \frac{ds}{Q \beta(s)},$$

где β - параметр матрицы Твисса, Q - число бетатронных колебаний за оборот с учетом поправки на когерентный кулоновский сдвиг^{/3/}. В качестве возмущающей силы далее будет фигурировать сила действия короткого толкателя:

$$F_{\text{возм}} = F_T(\varphi_T) \Delta\varphi_T \delta(\varphi - \varphi_T), \quad (2)$$

где $\delta(\varphi)$ - дельта-функция Дирака; φ_T - положение толкателя, $\Delta\varphi_T$ - протяженность толкателя [$\Delta\varphi_T = l_T / (Q\beta_T)$]. Из (1) в области действия толкателя (2) имеем

$$\frac{dv(\varphi_T^+)}{d\varphi} - \frac{dv(\varphi_T^-)}{d\varphi} = Q \Delta v = \frac{Q l_T \sqrt{\beta_T}}{m \gamma_0 v_0^2} F_T(\varphi_T).$$

Состояние частиц пучка удобно задавать матрицей-столбцом $\hat{V}(\varphi)$, в которой первый элемент совпадает с $v(\varphi)$, а второй равен производной $dv(\varphi)/d\varphi$. Тогда прохождение толкателя можно представить в следующем виде^{/4/}:

$$\hat{V}(\varphi_T^+) = \hat{I} \hat{V}(\varphi_T^-) + Q \hat{T} \hat{\Delta V}(\varphi_T^-), \quad (3)$$

где \hat{I} - единичная матрица, а матрица \hat{T} имеет вид

$$\hat{T} = \begin{bmatrix} 0 & 0 \\ 1 & 0 \end{bmatrix}.$$

Матрица-столбец $\hat{\Delta V}(\varphi_T^-)$ описывает действие толкателя и состоит из двух элементов, первый из которых равен введенной выше величине Δv , а второй равен нулю.

Учитывая (3), нетрудно установить связь между двумя последовательными состояниями частиц пучка на $(n+1)$ -м и n -м оборотах на азимуте, например, первого ДП с учетом прохождения двух толкателей. Пусть для промежутков от ДП1 до Т1 и от ДП2 до Т2 матрицы перехода \hat{C} одинаковы. Пусть также одинаковы матрицы перехода \hat{B} для промежутков ДП1 - ДП2 и Т1 - Т2. Будем считать, что матрица перехода от Т2 к ДП1 есть \hat{A} , причем фазовая протяженность этого промежутка равна $\alpha\lambda$. Действие

первого толкателя на азимуте φ_{T_1} на n -м обороте будем характеризовать матрицей $\hat{\Delta V}_1[n]$, а второго - $\hat{\Delta V}_2[n]$. Тогда

$$\begin{aligned} \hat{V}(\varphi_{D_1} + 2\pi(n+1)) &= \hat{A}\hat{V}(\varphi_{T_2}^+ + 2\pi n) = \hat{A}\{\hat{V}(\varphi_{T_2}^- + 2\pi n) + Q\hat{T}\hat{\Delta V}_2[n]\} = \\ &= \hat{A}\{\hat{B}\hat{V}(\varphi_{T_1}^+ + 2\pi n) + Q\hat{T}\hat{\Delta V}_2[n]\} = \hat{A}\{\hat{B}\hat{C}\hat{V}(\varphi_{D_1} + 2\pi n) + Q\hat{B}\hat{T}\hat{\Delta V}_1[n] + Q\hat{T}\hat{\Delta V}_2[n]\} = \\ &= \hat{M}\hat{V}(\varphi_{D_1} + 2\pi n) + Q\hat{A}\{\hat{B}\hat{T}\hat{\Delta V}_1[n] + \hat{T}\hat{\Delta V}_2[n]\}, \end{aligned}$$

где $\hat{M} = \hat{A}\hat{B}\hat{C}$ - матрица оборота. Проводя усреднение по всем частицам пучка в его поперечном сечении на заданном азимуте, получаем следующее матричное уравнение для центра тяжести пучка:

$$\hat{V}[n+1] = \hat{M}\hat{V}[n] + Q\hat{A}\{\hat{B}\hat{T}\hat{\Delta V}_1[n] + \hat{T}\hat{\Delta V}_2[n]\}. \quad (4)$$

Здесь $\hat{V}[n] = \langle \hat{V}(\varphi_{D_1} + 2\pi n) \rangle$ - матрица, описывающая состояние центра тяжести пучка на азимуте φ_{D_1} на n -м обороте (скобочками $\langle \dots \rangle$ обозначено усреднение по частицам поперечного сечения пучка в указанном выше смысле).

Элементы матриц $\hat{\Delta V}_1[n]$ и $\hat{\Delta V}_2[n]$, характеризующие действие толкателей на пучок, численно выражаются через коэффициент передачи K цепи обратной связи и показания ДП, зависящие от смещения пучка относительно равновесной орбиты в месте расположения ДП. Возможна также их функциональная зависимость от других параметров, например внешних возмущений $F_{\text{внеш}}$. В общем виде это можно представить как

$$\hat{\Delta V}_{1,2}[n] = f(\hat{V}[n], K, F_{\text{внеш}}, \dots). \quad (5)$$

После доопределения элементов матриц $\hat{\Delta V}_{1,2}[n]$ и подстановки их в (4) получаем уравнение, связывающее состояния центра тяжести пучка через оборот после прохождения магнитной структуры и двух толкателей. Это результирующее уравнение есть уравнение динамики центра тяжести пучка для автоматической системы с замкнутым контуром регулирования. Среди множества решений этого уравнения необходимо найти те, при которых движение частиц будет устойчиво, причем введение цепи регулирования предотвращает раскачку частиц пучка в поперечном направлении.

Полученное линейное разностное матричное уравнение (4) можно эффективно решить, используя одностороннее Z -преобразование последовательности $\hat{V}[n]$:

$$\hat{V}(z) = \sum_{n=0}^{\infty} \hat{V}[n]z^{-n}, \quad \hat{V}[n] = \frac{1}{2\pi i} \int_C \hat{V}(z)z^{n-1}dz. \quad (6)$$

Здесь C - любой замкнутый контур, окружающий все особые точки $\hat{V}(z)$ на комплексной z -плоскости, в частности любая окружность $|z| > R_V$, где R_V - радиус круга, вне которого сходится (абсолютно и равномерно) задающий $\hat{V}(z)$ ряд. Такой способ решения выбран также по соображениям удобства последующего анализа движения частиц пучка при наличии цепи обратной связи с цифровой обработкой сигнала, поскольку Z -преобразование широко используется при анализе систем дискретного времени^{/7/}.

Используя теорему о вычетах для вычисления контурного интеграла в (6), можем записать:

$$\hat{V}[n] = \sum_k \operatorname{Res} \hat{V}(z_k) z_k^{n-1}.$$

Отсюда ясно, что устойчивое движение частиц возможно, если все полюсы z_k на комплексной z -плоскости лежат внутри окружности с радиусом $R=1$, то есть

$$|z_k| < 1. \quad (7)$$

Декремент затухания колебаний частиц D будет определяться полюсом с максимальной величиной модуля:

$$D = -\ln(\max |z_k|).$$

Таким образом, определив положение полюсов z_k на комплексной z -плоскости, можно выявить величины параметров, при которых движение частиц устойчиво, а также постоянную затухания поперечных колебаний частиц.

Возможности и особенности этого метода проиллюстрируем на простом примере, когда толкатели выключены. Используя теорему опережающего сдвига и известные свойства Z -преобразования^{/7/}, получим

$$z(\hat{V}(z) - \hat{V}[0]) = \hat{M}\hat{V}(z).$$

Здесь $\hat{V}[0]$ - матрица, описывающая начальное состояние пучка. Решая последнее уравнение относительно $\hat{V}(z)$, получаем

$$\hat{V}(z) = (z\hat{I} - \det(\hat{M})\hat{M}^{-1})z\hat{V}[0]/\det(z\hat{I} - \hat{M}). \quad (8)$$

В справедливости (8) легко убедиться, если учесть, что

$$\hat{M} + \det(\hat{M})\hat{M}^{-1} = \text{Sp}(\hat{M})\hat{I}, \quad \hat{M}\hat{M}^{-1} = \hat{I}.$$

Подчеркнем, что решение (8) справедливо для произвольной квадратной матрицы \hat{M} второго порядка. Так как $\det(\hat{M})\hat{M}^{-1} = \hat{M}_-$ есть матрица, которая отличается от матрицы \hat{M} перестановкой элементов на главной диагонали и заменой знака у элементов m_{12} и m_{21} , то из (8) получаем, что обратное Z-преобразование полностью определяется полюсами z_k , которые находятся из уравнения

$$\det(z_k \hat{I} - \hat{M}) = z_k^2 - z_k \text{Sp}(\hat{M}) + \det(\hat{M}) = 0. \quad (9)$$

Поскольку полюсы $z_k = \exp(\pm i2\pi Q)$ являются полюсами первого порядка, то, выполняя согласно (6) обратное Z-преобразование, приходим к следующему соотношению:

$$\hat{V}[n] = [\hat{I} \sin(2\pi(n+1)Q) - \hat{M}_- \sin(2\pi nQ)] \hat{V}[0] / \sin(2\pi Q) = \hat{M}^n \hat{V}[0].$$

В итоге получен результат, который с очевидностью следует из (4) при $\Delta \hat{V} = 0$ и хорошо известен. Необходимо только обратить внимание на соотношения (7), (8) и (9), которые постоянно будут присутствовать в последующих примерах и играют особую роль, поскольку позволяют определить область параметров, при которых обеспечивается устойчивость движения частиц.

Перейдем теперь к анализу движения частиц пучка с учетом действия толкателей. Для этого в уравнении (4) необходимо доопределить силы толчков в толкателях в соответствии с (5). Обычно при рассмотрении работы толкателя в цепи обратной связи предполагается, что сила толчка пропорциональна смещению центра тяжести пучка в ДП на азимуте φ_D , то есть

$$\Delta v = K \langle v(\varphi_D) \rangle = K \langle x(\varphi_D) \rangle / \sqrt{\beta_D} = \frac{1_T \sqrt{\beta_T}}{m \gamma_0 v_0^2} F_T(\varphi_T). \quad (10)$$

Подчеркнем, что здесь воздействие в толкателе передается на те же частицы, которые имели смещение $\langle x(\varphi_D) \rangle = \langle v(\varphi_D) \rangle \sqrt{\beta_D}$ при пролете ДП, то есть воздействие в толкателе синхронизовано с показаниями в ДП для одних и тех же частиц. Уравнение (10) характеризует идеальную цепь обратной связи, для которой в первую очередь будет проанализировано матричное уравнение (4). С учетом (10) для одинаковых коэффициентов

передачи K в цепях обратной связи ДП1 - Т1 и ДП2 - Т2 и ранее введенных обозначений получаем из (4)

$$\hat{V}[n+1] = \hat{M}_T \hat{V}[n],$$

где

$$\hat{M}_T = \hat{M} + KQA[\hat{B}\hat{T} + \hat{T}\hat{B}].$$

Используя Z-преобразование, получаем решение для $V(z)$ в виде (8) с заменой матрицы \hat{M} на \hat{M}_T . Примем во внимание, что

$$\hat{B}\hat{T} + \hat{T}\hat{B} = (1/Q) \sin(Q\Delta\varphi) \hat{I} + 2\cos(Q\Delta\varphi) \hat{T},$$

где $\Delta\varphi = \varphi_{Д2} - \varphi_{Д1} = \varphi_{Т2} - \varphi_{Т1}$. При $\Delta\varphi = \pi/2Q$ из (8) нетрудно получить, что полюсы z_k есть

$$z_{1,2} = \exp(\pm i2\pi Q) + K \exp(\pm i\alpha\pi Q).$$

Отсюда (для действительных K и Q)

$$|z_1|^2 = |z_2|^2 = 1 + K^2 + 2K\cos((2-\alpha)\pi Q).$$

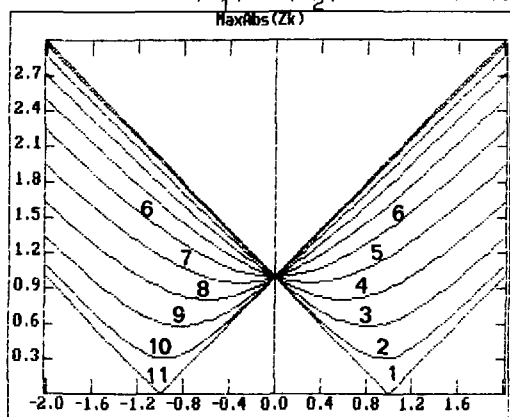


Рис.2. Зависимости $|z_k|$ от K при $Q=52.71$ и $\alpha Q=0.42+0.1(n-1)$. Цифры у кривых - значения n .

На рис.2 приведены графики зависимостей величин $|z_k|$ от коэффициента передачи K для различных значений параметра α при фиксированном Q . Напомним, что нас интересуют лишь те области значений Q , K и α , когда выполняется условие устойчивости движения частиц (7). В соответствии с ним имеем, что колебания будут затухающими, если

$$0 < \varkappa K < 2|\cos((2-\alpha)\pi Q)|, \quad (11)$$

где

$$\varkappa = -\text{sign}[\cos((2-\alpha)\pi Q)].$$

Минимальное значение $|z_{1,2}|$ будет при

$$K = -\cos((2-\alpha)\pi Q), \quad (12)$$

которое равно

$$|z|_{\min} = |\sin((2-\alpha)\pi Q)|.$$

Поэтому максимальный темп подавления и одновременно максимальный диапазон для допустимых K имеем при

$$|\cos((2-\alpha)\pi Q)|=1. \quad (13)$$

В этом случае набег фазы бетатронных колебаний между ДП1 и Т1 равен $\pi m + \pi/2$ (целое число $m < 2Q - 1$), так что $\hat{C} = \hat{B}$ и

$$\alpha\pi = 2\pi - (m+1)\pi/Q.$$

На рис.3 приведены зависимости $|z_k|$ от K для различных α при $Q=52.71$ в области значений параметров для устойчивого движения частиц. Первая максимальная область устойчивости соответствует $\alpha=0.42/Q$ для положительных K . С увеличением фазовой протяженности промежутка между Т2 и ДП1 область устойчивости сужается и при $\alpha=0.92/Q$ становится нулевой. Следующая область устойчивости соответствует $\alpha=(1.42 \pm 0.5)/Q$ и отрицательным K ($-2 < K < 0$), затем - $\alpha=(2.42 \pm 0.5)/Q$ и положительным K и так далее.

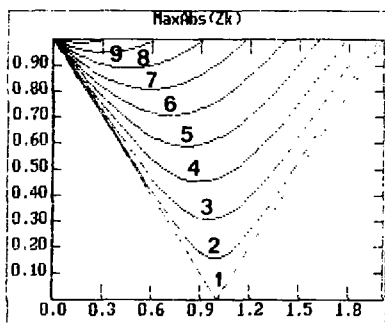
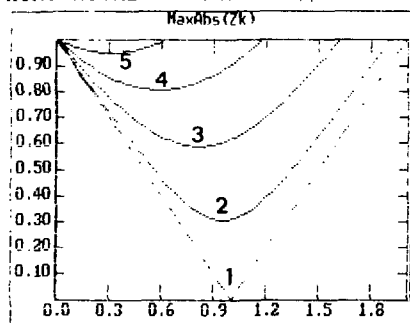


Рис.3. Зависимости $|z_k|$ от K .
 $Q=52.71$; $\alpha Q = 0.42 + 0.1(n-1)$.
 Цифры у кривых - значения n .

Рис.4. Зависимости $|z_k|$ от K .
 $\alpha=0.42/Q_0$; $Q=Q_0 \pm 0.0251(n-1)$.
 Цифры у кривых - значения n .

На рис.4 приведены зависимости $|z_k|$ от K для различных Q при $\alpha=0.42/Q_0$, причем $Q_0=52.71$. Максимальная область устойчивости соответствует $Q=Q_0$ и при отклонении от Q_0 сужается. В пределах этой области устойчивости для положительных K допустимы $Q=Q_0 \pm \Delta Q$, где $\Delta Q=Q_0/2(m+1)$, а m определено для оптимальной расстановки (13). Как и при вариации α , нетрудно

определить следующую область устойчивости для отрицательных K , затем для положительных K и так далее. Необходимо отметить, что с ростом α увеличивается область допустимых ΔQ (поскольку уменьшается величина m).

При выполнении условия (13) получаем, что $\hat{A} = -\alpha \hat{M}$. В результате для матрицы оборота имеем

$$\hat{M}_T = (1 - \alpha K) \hat{M}.$$

Очевидно, что после прохождения n оборотов получим

$$\hat{V}[n+1] = \hat{M}_T^n \hat{V}[0] = (1 - \alpha K)^n \hat{M}^n \hat{V}[0].$$

Поскольку матрица \hat{M} характеризует устойчивые бетатронные колебания, то с введением цепи обратной связи колебания будут затухать, если $0 < \alpha K < 2$, что совпадает с полученным выше условием устойчивости колебаний (11) для оптимальной расстановки ДП и Т (13). Декремент затухания колебаний есть

$$D = -\ln(1 - \alpha K).$$

Для малых K имеем $D \approx \alpha K$. Максимальный декремент получается при $\alpha K = 1$, что соответствует подавлению колебаний за один оборот.

Необходимо подчеркнуть, что из-за энергетического разброса частиц в пучке когерентные колебания будут переходить в некогерентные. Минимальная величина постоянной времени перехода когерентных колебаний в некогерентные вследствие импульсного разброса частиц в пучке и ненулевой хроматичности магнитного поля ускорителя есть^{/2/}

$$\tau_p = T_o / (\pi \Delta Q \sqrt{2}),$$

где T_o - период обращения частиц в ускорителе, ΔQ - полуширина разброса бетатронных частот частиц в пучке. Ясно, что система подавления поперечных когерентных колебаний должна обеспечивать более высокий темп подавления, чем τ_p . Это означает, что условие (7) должно быть заменено на более жесткое:

$$|z_k| < \exp(-T_o / \tau_p). \quad (14)$$

Так, если $\tau_p = 10 T_o$, то $|z_k| < 0.9$. В этом конкретном случае все полюсы z_k должны лежать уже внутри круга с радиусом $R = 0.9$. В результате область допустимых K будет уже, чем в (11), в том числе и при оптимальной расстановке (13). Для коэффициента усиления (12), при котором темп подавления максимальный, в

линейном приближении по ΔQ из (14) получаем

$$\pi \Delta Q \sqrt{2} < 1 - |\sin((2-\alpha)\pi Q)|.$$

Таким образом, это ограничение существенно при уходе от оптимальной расстановки (13).

Второй эффект, обусловленный ненулевым импульсным разбросом частиц в пучке, связан с тем, что, например при оптимальной расстановке, только для части частиц темп подавления максимальный, а для других, у которых число бетатронных колебаний за оборот есть $Q + \Delta Q$, при том же коэффициенте передачи K в цепи обратной связи темп подавления более медленный. Для таких частиц условие $|z_k| < 1$ приводит в линейном приближении по ΔQ к соотношению

$$K + 2\cos((2-\alpha)\pi Q) < 2(2-\alpha)\pi \Delta Q \sin((2-\alpha)\pi Q).$$

Для коэффициента усиления (12), при котором темп подавления максимальный, отсюда получаем

$$2(2-\alpha)\pi \Delta Q < |\operatorname{ctg}((2-\alpha)\pi Q)|. \quad (15)$$

Это соотношение всегда выполняется при оптимальной расстановке (13), но его необходимо иметь в виду в других ситуациях.

Приведенные выше соображения и соотношения (14) и (15) необходимо учитывать при определении области допустимых параметров для системы подавления когерентных поперечных колебаний.

Перейдем теперь к анализу реальной цепи обратной связи, то есть доопределим силы толчков в толкателях, которые характеризуют действие цепи обратной связи ДП - Т. Прежде всего необходимо отметить, что сигнал с ДП пропорционален сумме смещения равновесной орбиты Δx пучка относительно электрической оси симметрии ДП и обусловленного колебаниями пучка мгновенного смещения $\langle x \rangle$ центра тяжести пучка относительно равновесной орбиты. Поэтому выборка для сигнала с ДП после дискретизации есть

$$U_{\text{ДП}}[n] = K_{\text{Д}} (\langle x(\Phi_{\text{Д}} + 2\pi n) \rangle + \Delta x),$$

где $K_{\text{Д}}$ - коэффициент пропорциональности, обусловленный преобразованием величины смещения центра тяжести пучка в ДП в напряжение на выходе согласующего усилителя, последующей

обработкой этого выходного сигнала и его дискретизацией. Затем производится задержка сигнала и его усиление в K_y раз, а результирующее воздействие на пучок есть

$$\Delta v = K_y K_d (\langle x(\varphi_d + 2\pi n) \rangle + \Delta x) / \sqrt{\beta_d}$$

Поскольку в силе толчка теперь присутствует дополнительная постоянная составляющая, а толкатель представляет собой дипольный магнит, то дальнейшее бетатронное движение частиц в пучке будет происходить вокруг новой равновесной орбиты, для которой величина Q может быть другой. Будем пренебрегать этим эффектом изменения Q . Тогда в уравнении (4) величина $V[n]$ будет иметь смысл смещения относительно некоторой зафиксированной орбиты, связанной с таким же смещением $V[n+1]$ через оборот посредством преобразования (4), в котором возможен учет любых толчков, в том числе и с постоянной силой. Поэтому (4) приобретает вид

$$\hat{V}[n+1] = \hat{M}\hat{V}[n] + \hat{K}Q\hat{A}[\hat{B}\hat{T} + \hat{T}\hat{B}]\hat{V}[n] + \hat{Q}\hat{A}[\hat{B}\hat{T}\hat{\Delta}\hat{V}_1 + \hat{T}\hat{\Delta}\hat{V}_2]u[n],$$

где $u[n]$ - функция единичного скачка дискретного времени ($u[n]=1$ при $n \geq 1$, $u[n]=0$ при $n < 0$)^{7/7}. Матрицы $\hat{\Delta}\hat{V}_1$ и $\hat{\Delta}\hat{V}_2$ характеризуют постоянные толчки пучка соответственно первым и вторым толкателем, причем в отличие от (10) элементы в них выражены в единицах смещения равновесной орбиты на азимуте ДП при единичном коэффициенте передачи цепи обратной связи ($K=1$):

$$\Delta v_i = \Delta x_i / \sqrt{\beta_{di}}$$

Подчеркнем, что теперь эти постоянные толчки следует интерпретировать как постоянную помеху, возникшую в толкателях. Такая помеха, например, может возникнуть при наличии дополнительного импульса тока в обмотках толкателя из-за погрешности преобразования сигнала в цепи обратной связи при нулевом напряжении на ее входе или при постоянной (или с частотой обращения) наводке на входе цепи или ее элементах, которая, однако, приведет к дополнительному постоянному импульсу тока в обмотке толкателя (то есть в последнем случае считается, что сила толчка есть величина постоянная независимо от коэффициента передачи K или места возникновения помехи на элементах цепи обратной связи). Еще раз подчеркнем, что такая интерпретация является прямым следствием отсутствия анализатора в цепи обратной связи.

способного отделить полезный переменный сигнал, обусловленный величиной $\langle x \rangle$, от постоянного, обусловленного величиной Δx . Отсутствие корреляции между Δx и постоянными дополнительными компонентами $\hat{\Delta V}_1$ и $\hat{\Delta V}_2$ как раз и отражено в модифицированном уравнении (4). Выполняя Z-преобразование в этом уравнении, получаем

$$\hat{V}(z) = (z\hat{I} - \det(\hat{M}_T)\hat{M}_T^{-1})z\{\hat{V}[0] + Q\hat{A}[\hat{B}\hat{T}\hat{\Delta V}_1 + \hat{T}\hat{\Delta V}_2]/(z-1)\}/\det(z\hat{I} - \hat{M}_T).$$

Отсюда видно, что в этом решении положение полюсов z_k , найденных из (9), остается прежним, так что условия устойчивости не претерпевают изменений и решение однородного уравнения, пропорционального $\hat{V}[0]$, остается неизменным. Дополнительные члены в решении, связанные с постоянными толчками, приводят в решении к асимптотике, которую легко найти по теореме о конечном значении^{7/}:

$$\hat{V}[\infty] = \lim_{z \rightarrow 1} (z-1)\hat{V}(z) = (\hat{I} - \det(\hat{M}_T)\hat{M}_T^{-1})Q\hat{A}[\hat{B}\hat{T}\hat{\Delta V}_1 + \hat{T}\hat{\Delta V}_2]/\det(\hat{I} - \hat{M}_T).$$

Необходимо отметить, что при выводе последнего соотношения считалось, что предел существует (то есть все полюсы лежат внутри единичной окружности) и все полюсы z_k из (9) не совпадают с единицей.

Вычислим теперь максимальное отклонение пучка, которое характеризуется асимптотическим решением и равно сумме квадратов первого элемента матрицы $\hat{V}[\infty]$ и ее второго элемента, деленного на Q^2 . Подставляя в эту сумму матричные элементы для $\hat{V}[\infty]$, после вычислений (при $\Delta\varphi = \pi/2Q$ в матрице \hat{B}) получим для квадрата амплитуды смещения центра тяжести пучка

$$(\hat{V}[\infty])_1^2 + (\hat{V}[\infty])_2^2/Q^2 = [(\Delta v_1)^2 + (\Delta v_2)^2] F_k^2. \quad (16)$$

Здесь формфактор F_k есть

$$F_k = 1/\sqrt{\det(\hat{I} - \hat{M}_T)}, \quad (17)$$

где

$$\det(\hat{I} - \hat{M}_T) = z - 2[\cos(2\pi Q) + K\cos(\alpha\pi Q)] + 2K\cos(2-\alpha)\pi Q + K^2.$$

При $K=0$ имеем $F_k = 1/2|\sin\pi Q|$, что совпадает с известным значением коэффициента пропорциональности для наибольшего вероятного отклонения замкнутой орбиты при наличии возмущений магнитного поля^{9/}. Так, для $Q=52.71$ имеем $F_k=0.633$. Перейдем теперь к анализу F_k при $K \neq 0$. На рис.5 приведен график зависимости F_k от K в области устойчивости

$0.42 < \alpha Q < 0.92$. Максимальные значения F_k соответствуют $\alpha = 0.42/Q$, то есть оптимальной расстановке. С увеличением α величина F_k уменьшается.

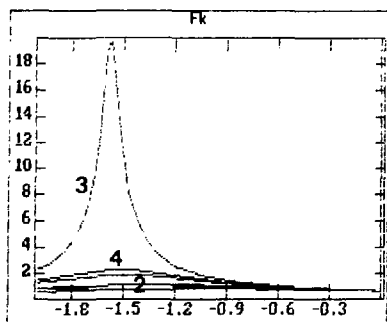
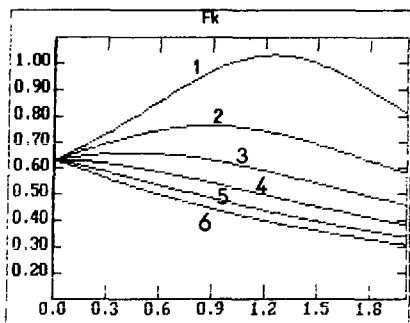


Рис.5. Зависимости F_k от K .
 $Q = 52.71$; $\alpha Q = 0.42 + 0.1(n-1)$.
 Цифры у кривых - значения n .

Рис.6. Зависимости F_k от K .
 $Q = 52.71$; $\alpha Q = 1.42 - 0.1(n-1)$.
 Цифры у кривых - значения n .

Отметим также, что при оптимальной расстановке во всей области допустимых K величина F_k больше своего значения при $K=0$. Это означает, что при максимальном темпе подавления когерентных бетатронных колебаний включение цепи обратной связи приводит к увеличению смещения пучка при наличии возмущений магнитного поля (для параметров, приведенных на рис.5, имеем $F_k(K=1)/F_k(K=0) = 1.6$ для $\alpha = 0.42/Q$). На рис.6 приведены зависимости F_k от K для $0.92 < \alpha Q < 1.42$ ($Q = 52.71$). В этой области для отрицательных K ($-2 < K < 0$) введение цепи отрицательной обратной связи также приводит к подавлению поперечных когерентных колебаний. Однако вблизи $\alpha = 1.22/Q$ происходит резкое увеличение вклада постоянных толчков при включении цепи обратной связи ($F_k = 20$ при $K = -1.6$). Таким образом, предпочтительней выбирать параметры системы подавления в области $0.42 < \alpha Q < 0.92$. Аналогичные выводы получаются для других областей устойчивости по α .

Частичное подавление действия постоянных толчков или толчков, следующих с частотой обращения частиц, возможно с

помощью фильтра типа гребенчатого^{/6/}. Для простейшего фильтра первого порядка такого типа связь между дискретными сигналами $U_{\text{дп}}[n]$ на его входе и $U_{\Phi}[n]$ на выходе есть

$$U_{\Phi}[n+1] = U_{\text{дп}}[n+1] - bU_{\text{дп}}[n],$$

где b - параметр фильтра, подлежащий определению. В этом случае уравнение (4) примет вид

$$\hat{V}[n+2] = M\hat{V}[n+1] + KQA[\hat{B}T + \hat{T}B](\hat{V}[n+1] - b\hat{V}[n]) + QA[\hat{B}T\hat{\Delta}\hat{V}_1 + \hat{T}\hat{\Delta}\hat{V}_2]u[n].$$

Применяя Z-преобразование, получаем следующее решение:

$$\hat{V}(z) = \frac{(zI - \det(\hat{M}_{\Phi})\hat{M}_{\Phi}^{-1})}{\det(zI - \hat{M}_{\Phi})} \left[z\hat{V}[1] + (I - \hat{M}_{\Phi})\hat{V}[0] + \frac{Q}{z-1} A[\hat{B}T\hat{\Delta}\hat{V}_1 + \hat{T}\hat{\Delta}\hat{V}_2] \right],$$

где

$$\hat{M}_{\Phi} = \hat{M} + K(1-b/z)QA[\hat{B}T + \hat{T}B].$$

Видно, что это решение отличается от полученного выше без фильтра, во-первых, добавлением к его правой части дополнительных членов, приводящих к зависимости однородного решения от $\hat{V}[1]$. Второе отличие заключается в замене коэффициента передачи K на $K(1-b/z)$ - коэффициент передачи цепи обратной связи с фильтром типа гребенчатого. Это отличие является существенным, поскольку приводит к удвоению числа полюсов z_k и, следовательно, к измененным величинам параметров, для которых движение частиц устойчиво. Решая уравнение (8) для матрицы \hat{M}_{Φ} в частном случае при $\Delta\varphi = \pi/2Q$ в матрице B , получаем, что полюсы z_k есть

$$z_k = [\exp(\pm i2\pi Q) + K\exp(\pm i\alpha\pi Q)]/2 \pm \sqrt{[\exp(\pm i2\pi Q) + K\exp(\pm i\alpha\pi Q)]^2/4 - Kb\exp(\pm i\alpha\pi Q)}.$$

При оптимальной расстановке толкателей (13) имеем

$$z_k = \left[(1 - \alpha K)/2 \pm \sqrt{(1 - \alpha K)^2/4 + \alpha K b \exp(\mp i2\pi Q)} \right] \exp(\pm i2\pi Q).$$

Напомним, что без гребенчатого фильтра при оптимальной расстановке толкателей и $\alpha K = 1$ в отсутствие внешних толчков достигался режим подавления поперечных колебаний за один оборот. При наличии же в цепи обратной связи гребенчатого фильтра аналогичный режим подавления колебаний невозможен, и декремент равен

$$D = -\ln\sqrt{|b|}.$$

Если теперь принять во внимание условие (14), то в этом случае получаем следующее ограничение на параметр фильтра b :

$$|b| < \exp(-2T_0/\tau_p).$$

Известно^{/8/}, что гребенчатый фильтр первого порядка имеет наибольшую эффективность подавления постоянной составляющей в радиотехнических цепях при $b=1$. Однако при использовании такого фильтра в цепи обратной связи для системы подавления поперечных колебаний частиц в ускорителе невозможно обеспечить максимальный эффект действия гребенчатого фильтра первого порядка и одновременно максимальный темп подавления когерентных колебаний при оптимальной расстановке устройств системы обратной связи, как в (13).

В то же время использование гребенчатого фильтра приводит к положительному эффекту, ослабляя влияние постоянных толчков на пучок. Действительно, применяя, как и выше, теорему о конечном значении и вычисляя соответствующее выражение для квадрата амплитуды смещения пучка, получаем в (16) следующее выражение для формфактора:

$$F_k = 1 / \sqrt{\det[\hat{I} - \hat{M}_\Phi(z=1)]}.$$

При оптимальной расстановке (13) для случая $\mathcal{K}=1$ имеем

$$\det[\hat{I} - \hat{M}_\Phi(z=1)] = 1 - 2bc \cos(2\mathcal{K}Q) + b^2.$$

Таким образом, эффективность действия фильтра по подавлению постоянных толчков растет с ростом b (в области $b > 2c \cos(2\mathcal{K}Q)$). Необходимо отметить, что при $b=1$ имеем $F_k = 1/2 |\sin \mathcal{K}Q|$ независимо от величины \mathcal{K} . В этом случае система подавления колебаний не приводит к дополнительным эффектам смещения пучка при наличии постоянных возмущений магнитного поля. По этой причине, а также по соображениям простоты реализации цифрового гребенчатого фильтра в случае $b=1$ следует выбрать параметр фильтра b , равный единице.

На рис.7 приведены зависимости $\max |z_k|$ от \mathcal{K} , где в качестве параметра фигурирует α ($0.42 < \alpha Q < 0.92$), причем $b=1$ и $Q=52.71$. Видно, что с увеличением α от значения $0.42/Q$ (что соответствует расстановке (13), когда без фильтра достигался режим подавления колебаний за один оборот при $\mathcal{K}=1$) сначала происходит увеличение темпа подавления колебаний, хотя область устойчивости по \mathcal{K} сужается. Максимальный темп

подавления соответствует расстановке $\alpha=0.7/Q$ и коэффициенту передачи $K=0.24$. В этом случае происходит уменьшение амплитуды колебаний в два раза за оборот. При дальнейшем увеличении α до значения $0.92/Q$ темп подавления колебаний уменьшается и одновременно сужается область устойчивости по K . Аналогичные зависимости по увеличению темпа подавления колебаний при уходе от расстановки (13) получаются при $b>0$ и в других областях устойчивости по α .

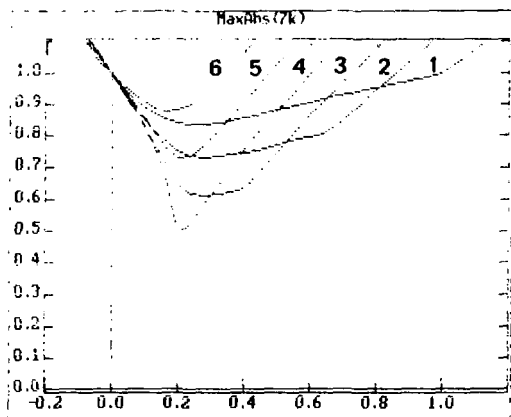


Рис.7. Зависимости $|z_k|$ от K при $Q=52.71$ и $\alpha Q=0.42+0.1(n-1)$. Параметр фильтра $b=1$. Цифры у кривых - значения n .

Таким образом, максимальное использование свойств гребенчатого фильтра для подавления постоянной составляющей в сигнале с ДП и одновременное обеспечение максимального темпа подавления поперечных колебаний возможно при специальной расстановке устройств системы подавления колебаний, отличной от оптимальной расстановки в отсутствие фильтра.

В заключение автор выражает свою признательность за постоянный интерес и содействие в работе И.Н.Иванову, Л.А.Юдину, И.Л.Кореневу.

Литература

1. Bossart R. et al. The Damper for the Transverse Instabilities of the SPS. IEEE Trans. Nucl. Sci., NS-26, No.3, pp.3284(1979).
2. Brouzet E. et al. A Damper for the \bar{p} Injection Oscillations in the PS Machine. IEEE Trans. Nucl. Sci., NS-32, No.5, pp.2135(1985).
3. Балбеков В.И. Труды IX Всесоюзного совещания по ускорителям заряженных частиц. ОИЯИ, Дубна, 1985, т.2, с.360.
4. Балбеков В.И., Герцев К.Ф. Препринт ИФВЭ 87-120, Серпухов, 1987.
5. Keil E. et al. Feedback Damping of Horizontal Beam Transfer Errors. CERN 69-27.
6. Bossart R., Louwerson R., Mourier J. The Digital Notch Filter of the Damper. SPS/ABM/Note/85-10, September 1985.
7. Сиберт У.М. Цепи, сигналы, системы. М.: Мир, 1988.
8. Гоноровский И.С. Радиотехнические цепи и сигналы. М.: Советское радио, 1977.
9. Брук Г. Циклические ускорители заряженных частиц. М.: Атомиздат, 1970.

Рукопись поступила в издательский отдел
14 февраля 1991 года